

[6] Батанов Г.М., Грицинин С.И., Коссый И.А.,  
Магунов А.Н., Силаков В.П., Тарасова Н.М. СВЧ разряды высокого давления. Труды ФИАН. 1985. Т. 160. С. 174-203.

Институт общей физики  
АН СССР, Москва

Поступило в Редакцию  
16 января 1989 г.

Письма в ЖТФ, том 15, вып. 8

26 апреля 1989 г.

04; 10

## РАЗВИТИЕ ПУЧКОВО-ПЛАЗМЕННОГО РАЗРЯДА ПРИ ТРАНСПОРТИРОВКЕ ВЫСОКОЭНЕРГЕТИЧНОГО МОДУЛИРОВАННОГО ПРОТОННОГО ПУЧКА В ГАЗЕ

В.А. Киселев, А.Ф. Линник,  
Я.Б. Файнберг, В.Н. Белан,  
А.К. Березин, Ю.П. Блиох,  
А.М. Егоров, Б.И. Иванов,  
И.Н. Онищенко, В.В. Усков

Исследования по пучково-плазменному разряду (ППР) ранее проводились при инжекции в нейтральный газ электронных пучков [1-3]. При инжекции в нейтральный газ ионных пучков с небольшими токами и с энергией 20-100 кэВ [4, 5] аналогичных явлений обнаружено не было, т.к. из-за захвата электронов плазмы и перезарядки ионов пучка стабилизация пучковой неустойчивости происходила при амплитудах возбуждаемых полей ниже пробойных. Однако ППР наблюдался при инжекции сильноточного ионного пучка с энергией 100 кэВ в газовую мишень, находящуюся в продольном магнитном поле [6, 8].

В настоящей работе исследовалось экспериментально и даны теоретические оценки развития ППР при транспортировке высокоэнергетичного модулированного по плотности протонного пучка в газе без внешнего магнитного поля. Источником протонного пучка служил резонансный линейный ускоритель с ВЧ-фокусировкой [7]: энергия протонов - 5 МэВ; ток в импульсе  $\approx 30$  мА, длительность импульса - 2 мкс, эмиттанс пучка -  $10^{-3}$  рад. см; каждый импульс состоял из  $3 \cdot 10^3$  протонных сгустков с частотой следования -  $\omega_M \sim 9.2 \cdot 10^8$  с<sup>-1</sup>. Плотность протонов на оси пучка -  $n_p \sim 10^7$  см<sup>-3</sup>. Камера взаимодействия представляла собой стеклянную трубу диаметром 10 см и длиной 100 см, имеющую автономную откачку и отделенную от ускорителя ловсановой пленкой толщиной 12 мкм. Рабочий газ - водород или воздух.

Для диагностики пучка и плазмы были использованы: цилиндр Фарадея, расположенный в конце камеры взаимодействия, специаль-

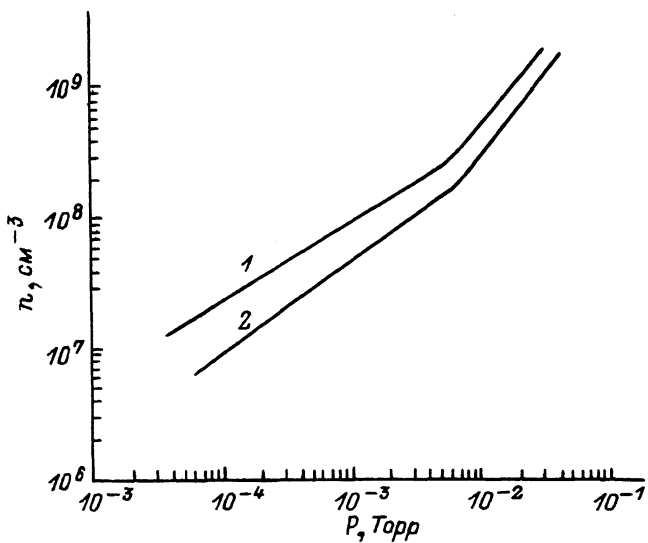


Рис. 1. Зависимость плотности плазмы от давления воздуха: 1 -  $I_B = 17$  мА, 2 -  $I_B = 12$  мА.

ный ВЧ-резонатор для измерения плотности плазмы, находящийся в 50 см от цилиндра Фарадея, магнитный анализатор энергетического спектра протонного пучка, пьезодатчик для регистрации импульса давления пучка, а также плавающий зонд, расположенный у цилиндра Фарадея.

Давление газа в камере взаимодействия менялось от  $10^{-5}$  до  $3 \cdot 10^{-2}$  торр, во всем этом диапазоне давлений сигнал с пьезодатчика оставался постоянным (точность измерений  $\pm 10\%$ ). При давлении газа выше  $4-6 \cdot 10^{-3}$  торр (критическое давление) плотность плазмы, образованной пучком, возрастает быстрее, чем при более низких давлениях (рис. 1), а магнитный анализатор спектра при давлениях выше критического регистрирует уширение энергетического спектра протонного пучка (рис. 2). Одновременно с аномальным поведением плотности плазмы и уширением энергетического спектра пучка в 5-10 раз возрастает сигнал с плавающего зонда. Для объяснения этих явлений ниже приводится ряд оценок. До критического давления стационарное значение плотности плазмы  $n_p$ , определяемое балансом частиц, рождающихся при неупругих соударениях и убывающих при свободном разлете плазмы, соответствует следующему выражению:

$$n_p = \frac{n_b N G v_B R}{2 v_{Ti}},$$

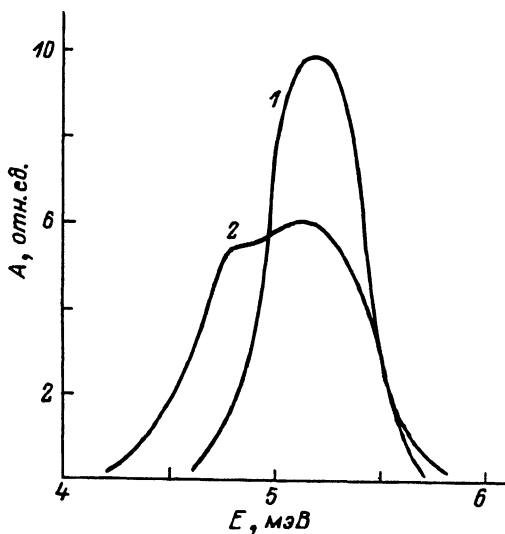


Рис. 2. Энергетический спектр протонного пучка: 1 -  $\rho$  в диапазоне  $10^{-5}$ - $3 \cdot 10^{-2}$  торр, 2 -  $\rho \sim 1 \cdot 10^{-2}$  торр.

где  $N$  - плотность нейтрального газа,  $v_b$  и  $v_{Te}$  скорости пучка и ионов плазмы,  $\sigma$  - сечение ионизации,  $R$  - радиус пучка.

При критическом давлении плотность плазмы достигает величины  $n_p = n_{kp} \sim 10^8 \text{ см}^{-3}$ . Это значение  $n_p$  обеспечивает возможность резонансного возбуждения плазменных колебаний протонным пучком  $\omega_p = \omega_M \approx 9.2 \cdot 10^8 \text{ с}^{-1}$ . Время, за которое образуется такая

плотность плазмы (при  $\rho \sim \rho_{kp}$ ),  $\tau \approx \frac{n_p}{n_b \sigma v_b N} \approx 10^{-7} \text{ с}$ . Учиты-

вая, что длительность импульса тока пучка  $T \gg \tau$ , можно рассматривать движение основной части ионного пучка в плазме с  $n_p \geq n_{kp}$  и предполагать развитие пучковой неустойчивости с ускорением электронов плазмы в поле возбуждаемых волн до энергий, превышающих энергию ионизации нейтрального газа. В результате развивается ионный ППР, аналогичный ППР на электронных пучках [1-3].

Оценка величины пробойного СВЧ поля может быть получена из уравнения для скорости набора энергии вторичным электроном в поле возбуждаемой волны:

$$n_p \frac{d\bar{\epsilon}}{dt} = v_c \frac{\bar{\epsilon}^2}{4\pi}, \quad v_c \ll \omega_p,$$

где  $\bar{\epsilon}$  - средняя энергия электрона,  $v_c$  - частота упругих столкновений. Полагая, что энергия электрона  $\bar{\epsilon}$  должна возрасти до энергии ионизации  $\epsilon_i$  за время меньше обратного времени потерь

электрона, обусловленного прилипанием и диффузией электронов, получаем для пробойного поля выражение

$$E_{pp} = \frac{m \omega_p}{\tau v_c e^2} \epsilon_i.$$

Для параметров эксперимента это дает  $E_{kp} \sim 200$  В/см. Если стабилизация неустойчивости определяется захватом электронов плазмы, т.е.  $\epsilon \varphi_{max} \simeq \frac{m U_b^2}{2}$ , то максимальная величина напряженности поля возбуждаемой волны  $E_{max} \approx 0.7$  кВ/см. Следовательно, в результате неустойчивости возбуждаются поля, достаточные для СВЧ пробоя газа. Отметим, что в экспериментах с низкоэнергетическими ионными пучками [4, 5]  $E_{max} \sim 50$  В/см <  $E_{pp}$  и ППР не развивается. Таким образом, модулированный по плотности моноэнергетический протонный пучок с энергией 5 МэВ, током 10–30 мА, и небольшим фазовым объемом может вызывать развитие ППР в нейтральном газе при давлении больше  $P_{kp} = 4-6 \cdot 10^{-3}$  торр.

#### Список литературы

- [1] Харченко И.Ф., Файнберг Я.Б., Корнилов Е.А., Николаев Р.М., Педенко И.С., Луценко Е.И. // ЖТФ. 1961. Т. 31. С. 761.
- [2] Лебедев П.М., Онищенко И.Н., Ткач Ю.В., Файнберг Я.Б., Шевченко В.И. // Физика плазмы. 1976. Т. 2. С. 407.
- [3] Кингслеп А.С., Новобранцев И.В., Рудаков Л.И., Смирнов В.П., Спектр А.М. // ЖЭТФ. 1972. Т. 63. С. 2132.
- [4] Габович М.Д. // УФН. 1977. Т. 121. С. 259.
- [5] Лиситченко В.В., Солошенко И.А., Циолко В.В., Фашук А.К. // УФЖ. 1987. Т. 32. С. 1359.
- [6] Кияшко В.А., Корнилов Е.А., Коляда Ю.Е., Файнберг Я.Б. // Письма в ЖТФ. 1979. Т. 5. В. 17. С. 1073–1077.
- [7] Теплюков В.А. Исследование ускорителя с ВЧ фокусировкой // Труды 5-го Всесоюзного совещания по ускор. заряж. частиц. М.: Наука, 1978 Т. 1. С. 288.
- [8] Keyashko V.A., Kornilov E.A., Koljada Yu.E., Fainberg Ya.B. Proc. of the 3<sup>rd</sup> Inter. Topical Conf. High power electron and ion beam. Novosibirsk, 1979. V. 1. P. 97–102.